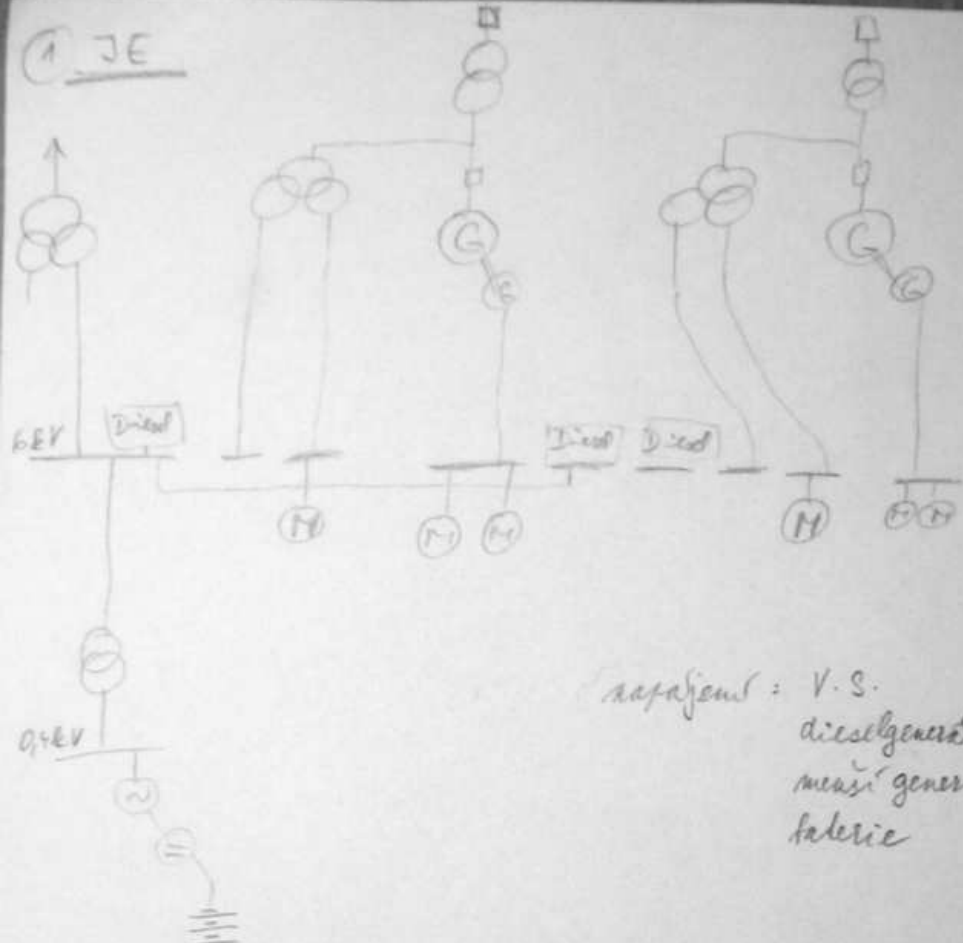


① JE



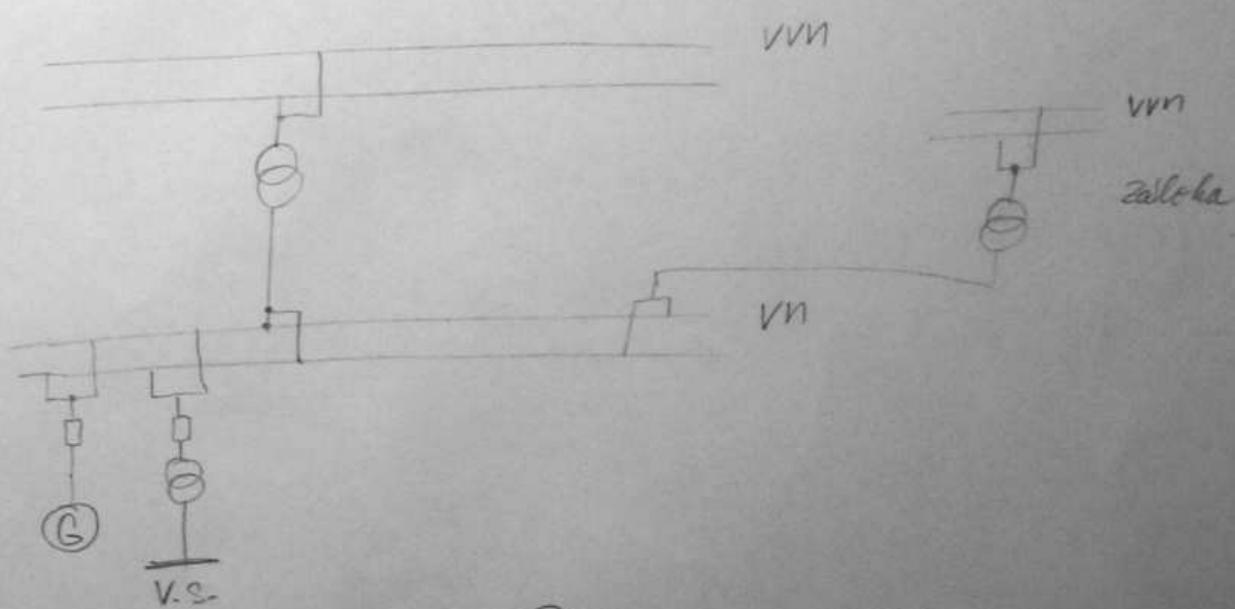
napájení: V.S.

dieselgenerátor

mezi generátor na křídlo G (po výpadku prouží)

fáerie

② zpětnovedení



③ V.S.

uletnut 7-11%

plán + mazut 5-6%

JE 6-7%

rodnut 1%

zpětnovedení 14-18%

④ dimenzování V.S.

začekn ugastrického motoru

rozm pod 0,8 Un

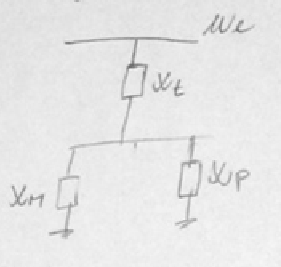
rozm pod 0,95 Un

sauvažidelný stupně motoru 0,65 Un

### ⑤ chlazení

- ventilatory na křideli
- prim. rotora, reprezentace statoru vodivkou
- prim. statoru vodivou

### ⑥ výpočet pro samonapojení $W_m > 0,65$



$$x_t = W_e \cdot \frac{S_v}{S_e}$$

$$x_m = \frac{1}{i_k} \cdot \frac{S_v}{S_m}$$

$$x_p = \frac{1}{\sin \varphi_p} \cdot \frac{S_v}{S_p}$$

$$\left( S_{K_{\text{mern}}}'' = \frac{W_e \cdot W_m}{W_e - W_m} \cdot k_{\text{prim}} \cdot \sum_{i=1}^n x_i \right)$$

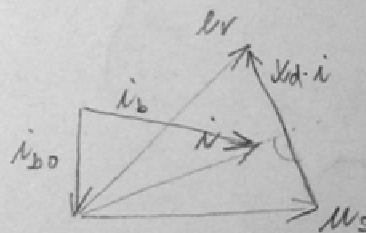
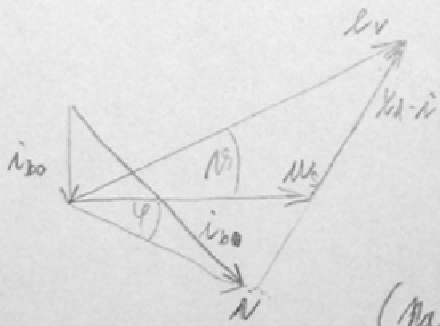
$$S_{K_{\text{obs}}}'' > S_{K_{\text{mern}}}''$$

### ⑦ rychlostního nápravu motoru

$$W_m > 0,85$$

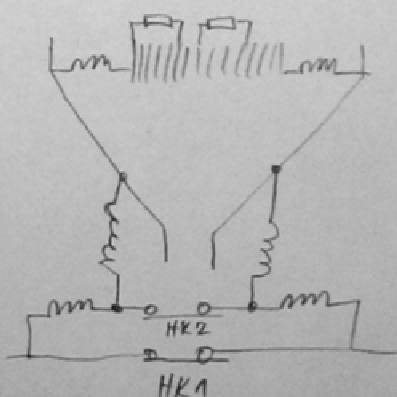
### ⑧ fázový diagram turbiny s přívodem a podvzdušnou strouhou

$$ev > M_2$$

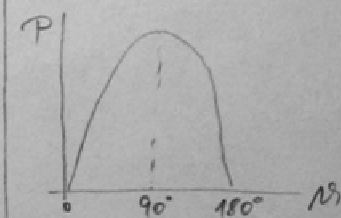


(na nezávislosti stability pravidlo podobnosti  $w_c \perp ev$ )

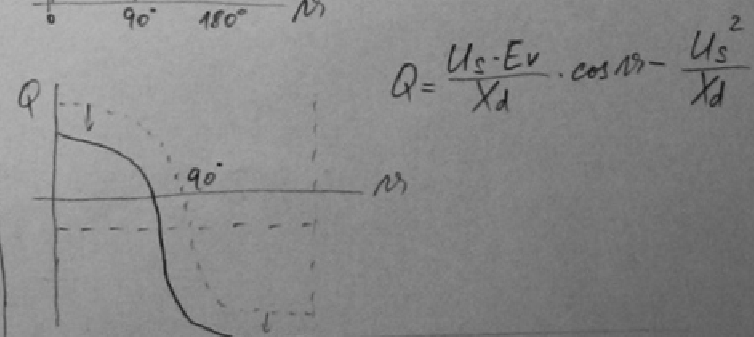
### ⑨ závažec konice odvzdušnice



### P-Q v závislosti na $N_s$ (malý motor)



$$P = \frac{U_s \cdot Ev}{X_d} \cdot \sin N_s$$



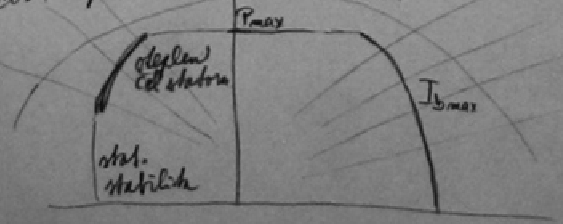
$$Q = \frac{U_s \cdot Ev}{X_d} \cdot \cos N_s - \frac{U_s^2}{X_d}$$

### ⑩ P-Q diagram

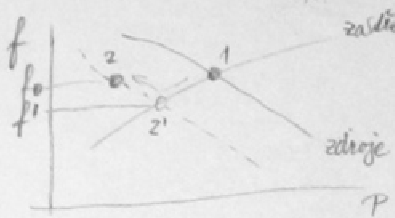
$\cos \varphi_{\text{typ}}$        $P_{\text{max}}$        $I_{d\text{max}}$

$\cos \varphi_{\text{red}}$

Změny parametry



### (11) statická char. ES při rozprávka zdroje



(Složitý zdroj + i při zkráceném zdroji)

### (12) způsoby kručení, odběrování

kručení - rotacní induc.

↳ shikly induc. systém s kroužky na hřidle  
shikly induc. systém bez kroužek

— závisle  
nezávisle

odběrování — paralelní odpor

↳ závisle konzora

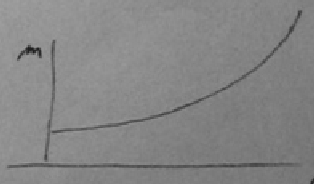
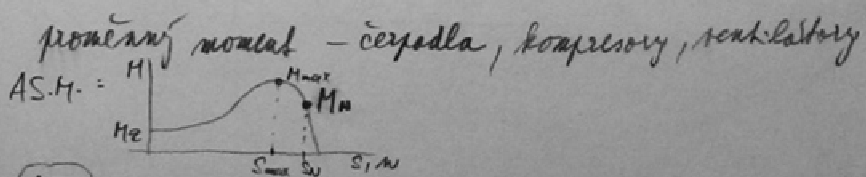
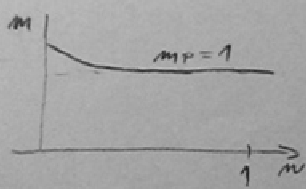
inverzní chod tranzistoru

### (13) podmínky pro vedení ve V.S.

- dostatečný výkon i při přesložení staveb
- momentová char. umožňující plný rychlostní
- maximální moment nejvýše  $2 \cdot M_N$
- bezporuchové provoz min. 3 roky
- hlučnost pod 85 dB
- rychlosť pracovat při  $0,7 U_n$  min. 15 minut
- záštitový proud max.  $5,5 \cdot I_m$
- schopnost provést 3 dvojdobové rozděly ze  $40^\circ C$
- — " — 2 rozděly při  $120^\circ C$
- vydávání na stavení náhradního pro  $2p, 4p$  5 sek. ; pro GP 10 sek.

### (14) momentové charakteristiky

kont. záštitový - deparametrický



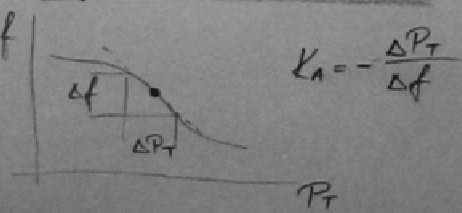
$$Q_2 = \frac{m_2}{m_1} Q_1$$

$$P_2 = \left(\frac{m_2}{m_1}\right)^2 P_1$$

$$P_2 = \left(\frac{m_2}{m_1}\right)^3 P_1$$

$$M_2 = \left(\frac{m_2}{m_1}\right)^K M_1$$

### (15) výkonové číslo ES



$$K_A = - \frac{\Delta P_T}{\Delta f}$$

### 16 přípravný

- podmínky:
- stejná vzdálosť mezi  $\alpha$  a  $\omega$  max. 15%
  - stejný fázový posuv max.  $8,6^\circ$
  - stejný sled fazového pořadí
  - stejné frekvence

### synchronizace

- stroj se uvede turbinou na otáčky blíže synchronu
- síť dodá magnetizačního středu
- třívele zo zpěvem se nabídne a stihne do synchronismu

naučky = pravdou rozdíly, potles napětí ve V. S.  
výhoda = automatická regulace

### 17

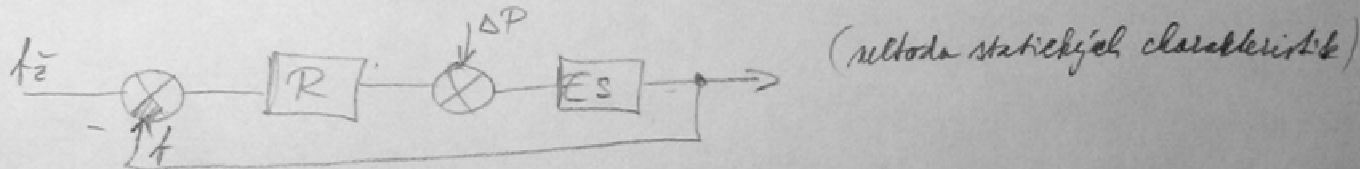
#### 2 způsoby propojení all do ně + parometr

- píru s páčkou na závora pro vedení
- zapojení díru vodice

### 18 příprava a základná regulace

příprava - v dané

základná - obecná elen - udělování  $f$  a předpisující výkonu do ostatních místností (saldu)



### 19 regulace Q

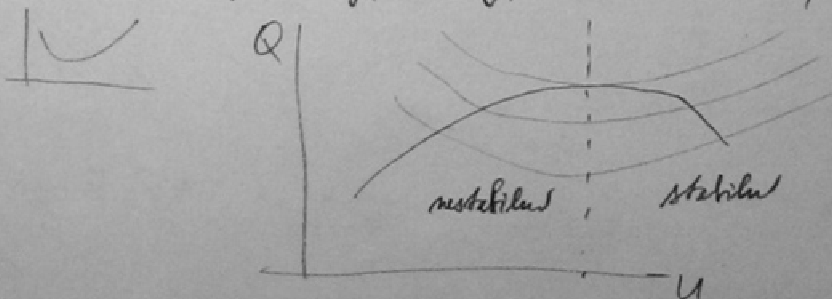
zdroje Q - synchronní alternátory, generátory synchron. motorů, synchron. kompresory, baterie

$$Q = \frac{E_v U_s}{X_d} \cdot \cos \varphi - \frac{U_c^2}{X_d}$$

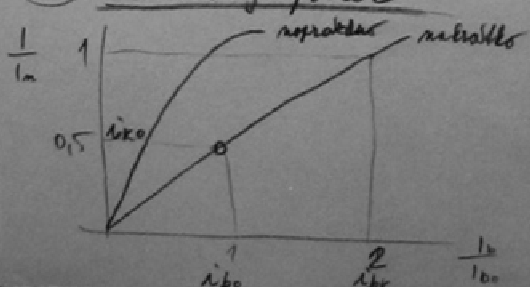
základní reakce

$$Q = W C \cdot U_s^2$$

zdroje Q - transformátory, motory, základní reakce, kompres. tlumivky

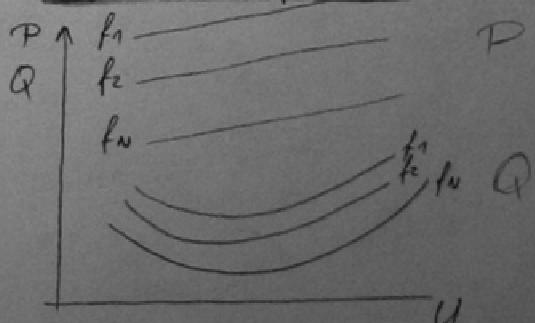


### 20 zkratový posuv



$$\lambda = \frac{I_{ko}}{I_m} = \lambda_{k0} = \frac{I_{bo}}{I_m}$$

### 21 závislost P, Q na U (jak se mení frekvence)



P .... cíle se pohybují na závazky frekvence  
Q .... ————— napětí